

Kerne und Teilchen

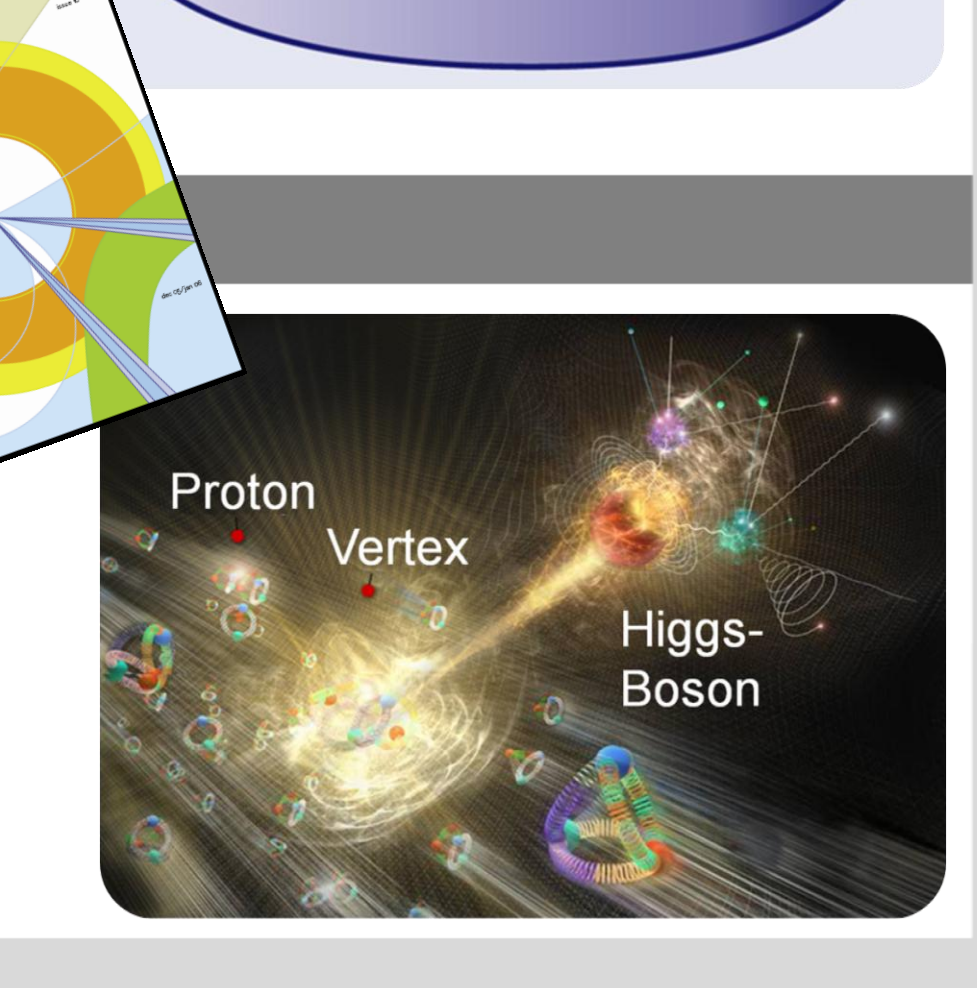
Physik VI

Vorlesung # 23 6.7.2010

Guido Drexlin, Institut für Experimentelle Kernphysik

Schwache Wechselwirkung

- Spontane Symmetriebrechung
- Higgs-Boson
- Quark-Mischung: Cabbibo-Winkel
- CKM Matrix: 3×3 Mischung
- GIM Mechanismus & FCNC



schwache Wechselwirkung

■ ft-Werte & Klassifikation von ß-Zerfällen

- das Produkt f·t_{1/2} variiert von 10³ 10²² s ∜ log(ft)-Wert
- f·t_{1/2} ~ 1/M² (direktes Mass für die Größe des **Kernmatrixelements M**)
- (über-)erlaubt: Fermi- & GT-Übergänge mit ∆J = 0, 1 ∜ log(ft) < 6
- ℓ -fach verboten: $\Delta J = \pm 1, \pm 2, \pm 3, \pm 4$ (Bahndrehimpuls ℓ)

schwache Ströme

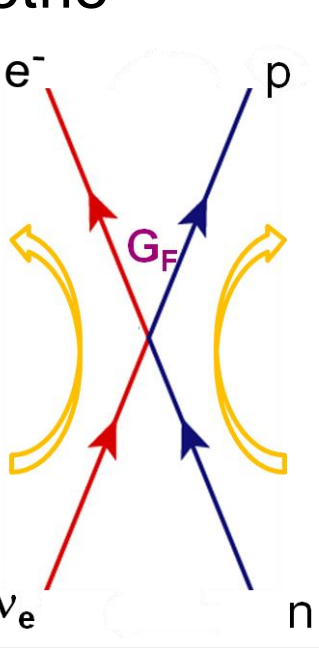
- Verhältnis axialvektorielle/vektorielle Kopplung: $g_{\Delta}/g_{V} = -1.27$
- CVC (Conserved Vector Current): Erhaltung durch Isospinsymmetrie
- PCAC (Partially Conserved Axialvector Current): QCD Effekte

Strom-Strom Kopplung:

- Kopplung eines leptonischen Stroms J_{lept} mit einem hadronischen Strom Jhadr

$$H_{w} = \frac{G}{\sqrt{2}} \cdot J_{\mu}^{+}(x) \cdot J^{\mu}(x) \qquad J_{\mu} = J_{\mu,lept.} + J_{\mu,hadr.}$$

$$J_{\mu} = J_{\mu,lept.} + J_{\mu,hadr.}$$



Elektroschwache Vereinigung



■ V-A Wechselwirkung:

Vektorbosonen W[±] koppeln nur an chiral linkshändige Fermionen:

$$J_{\mu,lept} = \overline{\Psi}_e \gamma_{\mu} (1 - \gamma^5) \Psi_{\nu} \qquad \overline{\Psi}_{L} = \overline{\mathbf{u}} \cdot \frac{1}{2} \cdot (1 - \gamma^5)$$

$$\overline{\Psi}_{L} = \overline{u} \cdot \frac{1}{2} \cdot (1 - \gamma^{5})$$

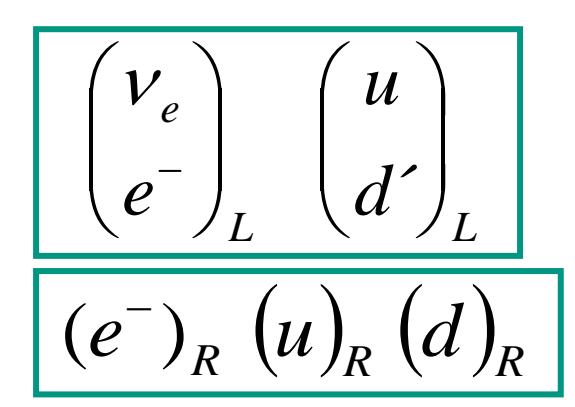
chiral LH Fermion

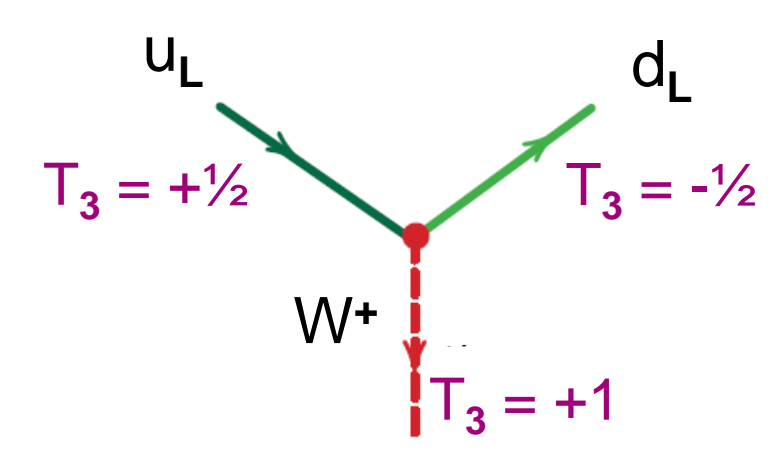
Schwacher Isospin T

- LH Dubletts
- RH Singuletts

Schwache Hyperladung Yw

$$- Q = T_3 + Y_W/2$$





Elektroschwache Symmetriebrechung

- Einführung des Higgs-Felds bricht SU(2) × U(1)_γ Symmetrie: γ, Z⁰ ⇔ W⁰, B⁰

Weinbergwinkel θ_{w} :

$$e = g \cdot \sin \theta_{\mathbf{W}}$$

Elektroschwache Vereinheitlichung



Struktur des elektroschwachen Stromes:

- Kopplungen der geladenen und neutralen schwachen Ströme & des elektromagnetischen Stromes

$$L_{W} = \frac{g}{\sqrt{2}} \cdot \left(J_{\mu}^{-} W^{+\mu} + J_{\mu}^{+} W^{-\mu}\right)$$

$$+ \frac{g}{\cos \theta_{W}} \left(J_{\mu}^{3} - \sin^{2} \theta_{W} \cdot J_{\mu}^{em}\right) Z^{\mu}$$

$$+ g \cdot \sin \theta_{W} \cdot J_{\mu}^{em} \cdot A^{\mu}$$



geladener Strom von W+ und W-



neutraler Strom von Z⁰



elektromagnetischer Strom von γ

Struktur der schwachen neutralen Ströme (Teil II):

- linkshändige Ströme mit $T_3 = \pm \frac{1}{2}$, rechtshändige Ströme mit $T_3 = 0$
- chirale Kopplungskonstanten:

$$c_L = T_3 - Q \cdot \sin^2 \theta_W$$

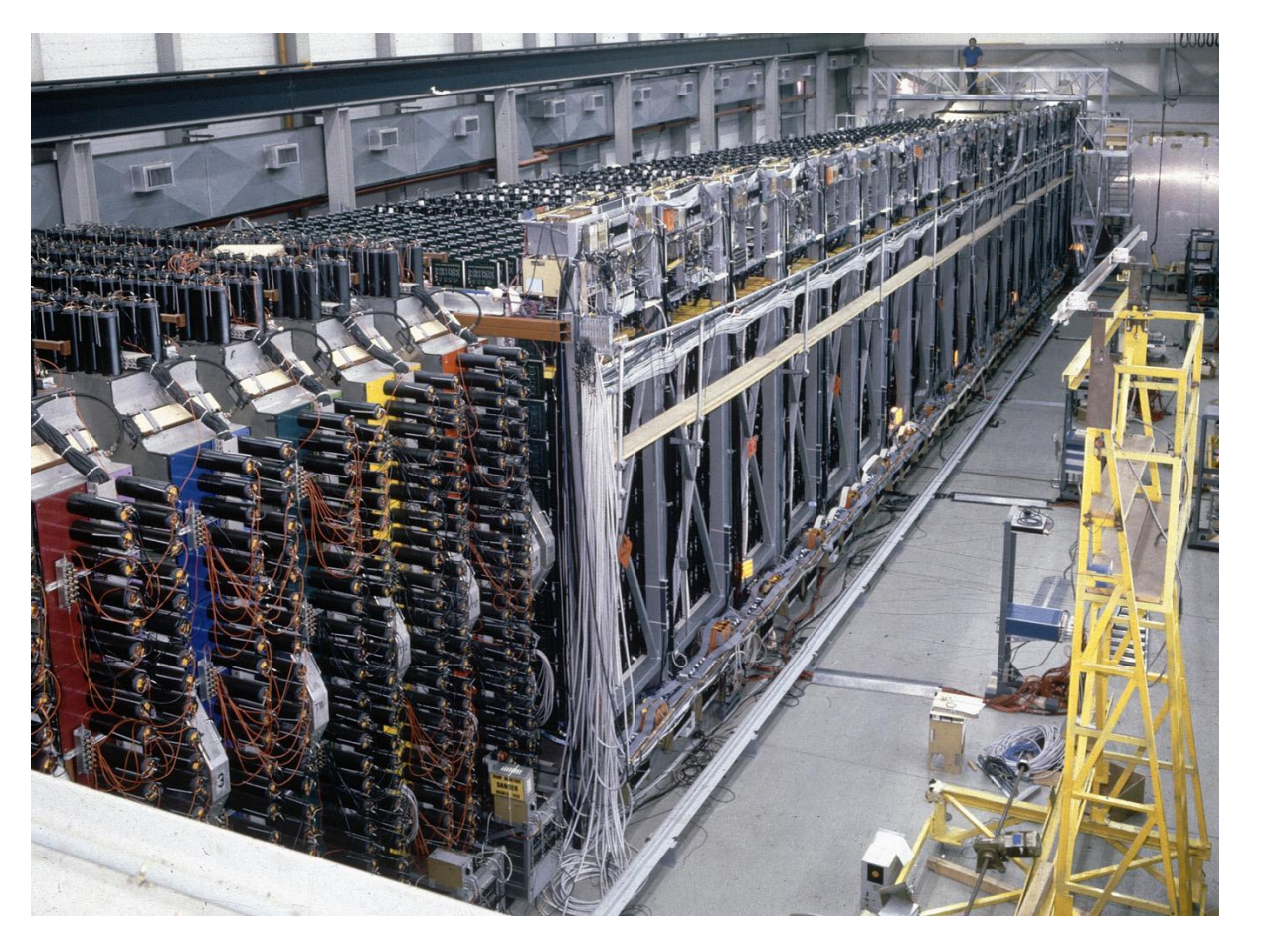
$$\mathbf{c}_{\mathsf{R}} = -\mathbf{Q} \cdot \sin^2 \theta_{\mathsf{W}}$$

$$c_R = -Q \cdot \sin^2 \theta_W$$
 [\infty Neutrinos: $c_R = 0$]

Elektroschwache Vereinheitlichung



- experimentelle Untersuchungen zur Struktur schwacher neutraler Ströme am CERN:
 - **CHARM-II Detektor**
 - ν_ee Streuung
 - ν_ue Streuung



- Struktur der schwachen neutralen Ströme (Teil II):
 - linkshändige Ströme mit $T_3 = \pm \frac{1}{2}$, rechtshändige Ströme mit $T_3 = 0$
 - chirale Kopplungskonstanten:

$$c_L = T_3 - Q \cdot \sin^2 \theta_W$$

$$\mathbf{c}_{\mathsf{R}} = -\mathbf{Q} \cdot \sin^2 \theta_{\mathsf{W}}$$

$$c_R = -Q \cdot \sin^2 \theta_W$$
 [\infty Neutrinos: $c_R = 0$]

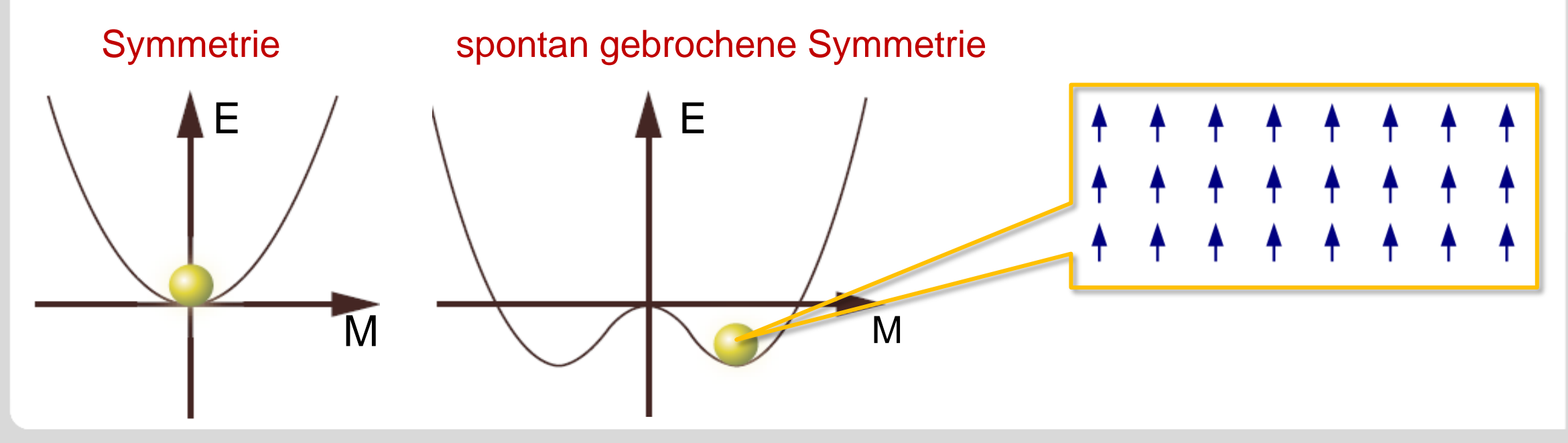


Prinzip der spontanen Symmetriebrechung:

Ferromagnet:

Magnetisierung M & kritische Curie-Temperatur T_c

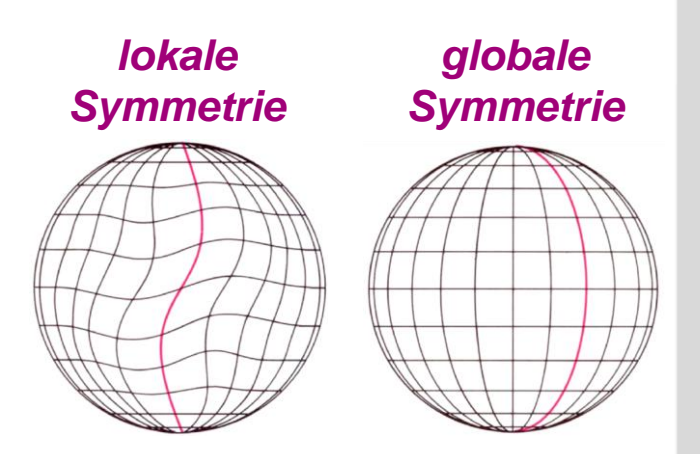
- T>T_c: thermische Bewegung verhindert Ausrichtung der Dipole, keine Magnetisierung des Grundzustands, Rotationssymmetrie
- T<T_c: magnetische Dipole richten sich spontan aus ♥ Magnetisierung spontane Brechung der ursprünglichen Rotations-Symmetrie Grundzustand ist energetisch entartet

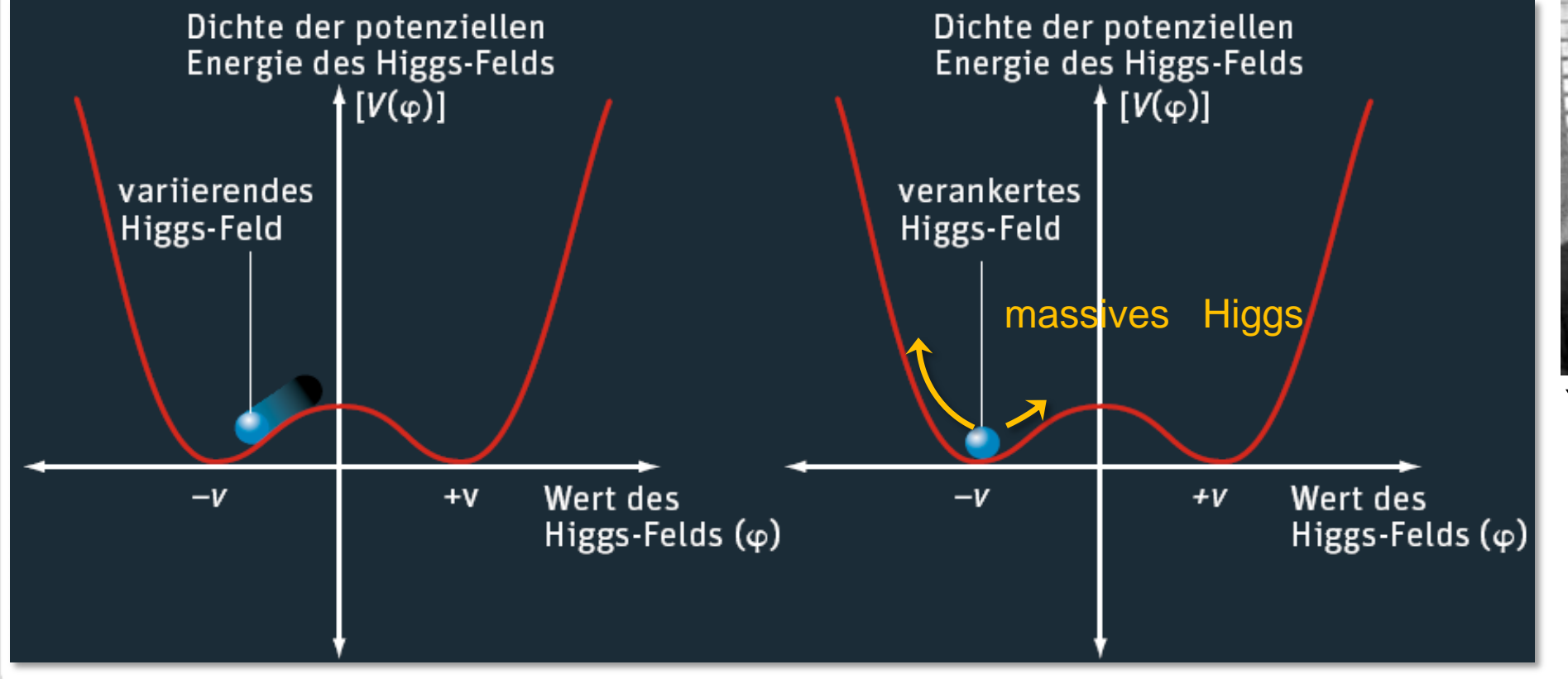


G. Drexlin - VL23



- Prinzip der spontanen Symmetriebrechung:
 - spontane Symmetriebrechung globaler Symmetrie: masselose (Nambu-Goldstone) Bosonen
 - spontane Symmetriebrechung einer lokalen Symmetrie: massive Eichfelder







Yoichiro Nambu

Nobelpreis 2008



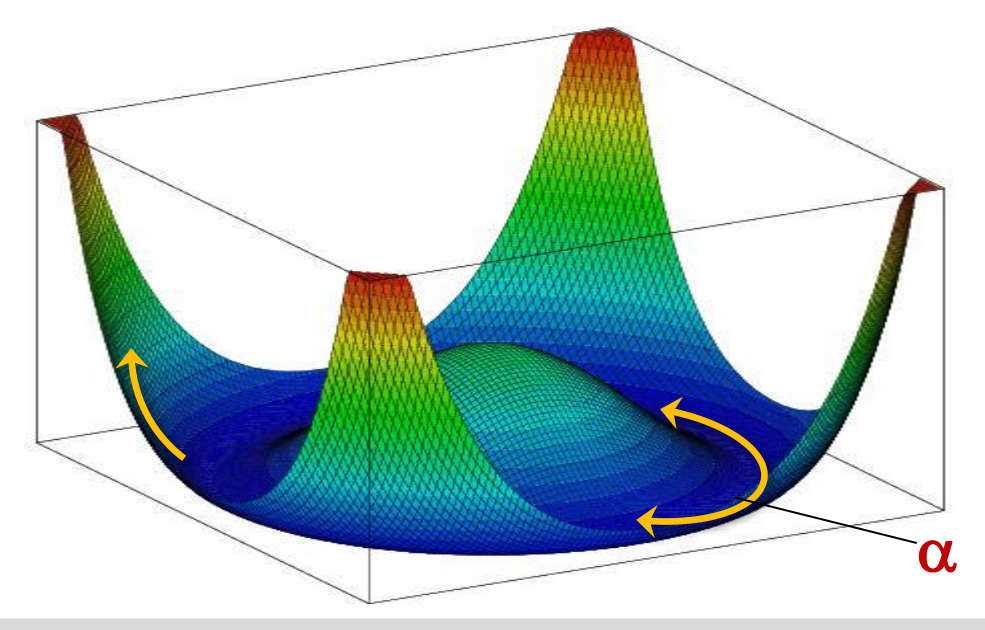
Schritte der spontanen Symmetriebrechung:

1. Einführung des Higgsfelds:

- skalares Feldes als SU(2) Dublett $\Phi(x)$ mit schwacher Hyperladung $Y_W = -1$
- komplexes Dublett mit 4 reellen Komponenten

2. Higgs-Wechselwirkungen:

- Kopplung an die masselosen Eichfelder W_μ(x) & Selbstkopplung
- Potenzial $V(\Phi)$: 3 Eichfelder erhalten Masse (longitudinaler Polarisations-freiheitsgrad) aus 3 Higgs-Freiheitsgraden (α) 4. Freiheitsgrad: Higgsboson



entartetes Vakuum:

das Higgsfeld nimmt den niedrigsten Energiezustand an, dort ist für eine Rotation um Winkel α keine Energie erforderlich ('Sektflaschenboden') dies entspricht "Goldstone-Boson", das zu massivem Eichboson wird



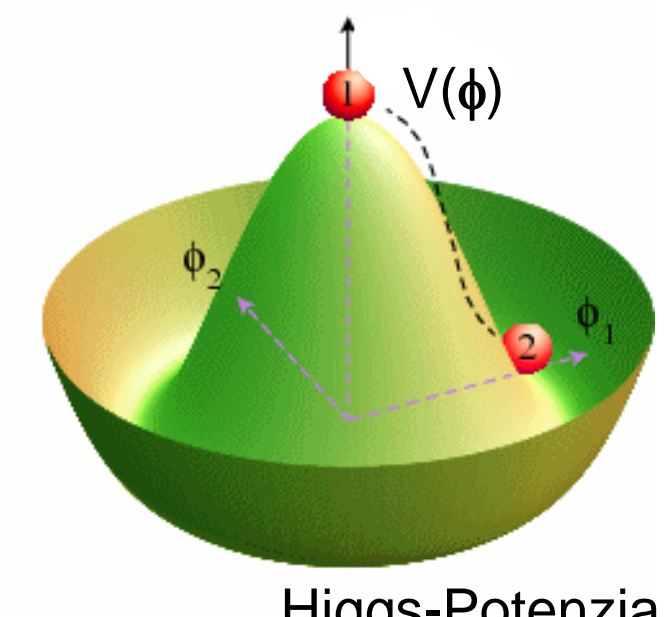
Schritte der spontanen Symmetriebrechung:

3. resultierende Symmetrie:

- Lagrangedichte der Wechselwirkung behält SU(2) × U(1)_v Symmetrie
- im Vakuum ist die Symmetrie gebrochen, das Higgsfeld hat einen endlichen Vakuumerwartungswert w = 246 GeV mit w = $(\sqrt{2} G_F)^{-1/2}$
- Vakuum mit schwacher Hyperladung Y_w = 'kosmischen Supraleiter'
- Higgsfeld begrenzt Reichweite der W[±], Z⁰
- elektromagnet. U(1) erhalten \diamondsuit keine Kopplung an das Photon, m(γ) = 0

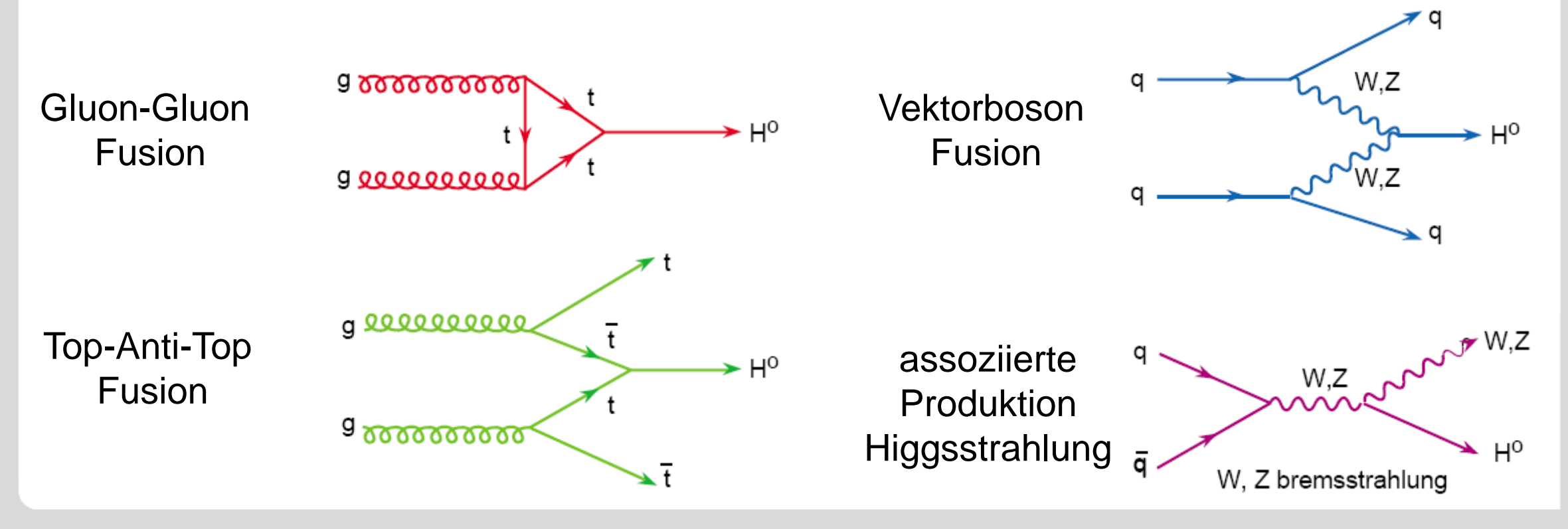
4. Weitere Effekte:

- Quarks und geladene Leptonen erhalten ihre Masse durch Yukawa-artige Ankopplungen an das Higgsfeld **Φ**
- die Yukawa-Kopplungsstärken entsprechen den experimentell gemessenen Massen
- m(Top) = 173 GeV ♥ Yukawa-Stärke g(Top) ~ 1



Higgs Erzeugung

- Higgs am LHC: 4 Produktionsmechanismen
 - die relative Stärke der einzelnen Mechanismen hängt ab von Higgsmasse
 - dominant: Gluon-Gluon Fusion
 - sub-dominant: Vektorboson-Fusion
 - QCD-Strahlungskorrekturen spielen wichtige Rolle bei Higgsproduktion (KIT-Beiträge durch NLO, NNLO: D. Zeppenfeld et al.)



Higgs Nachweis

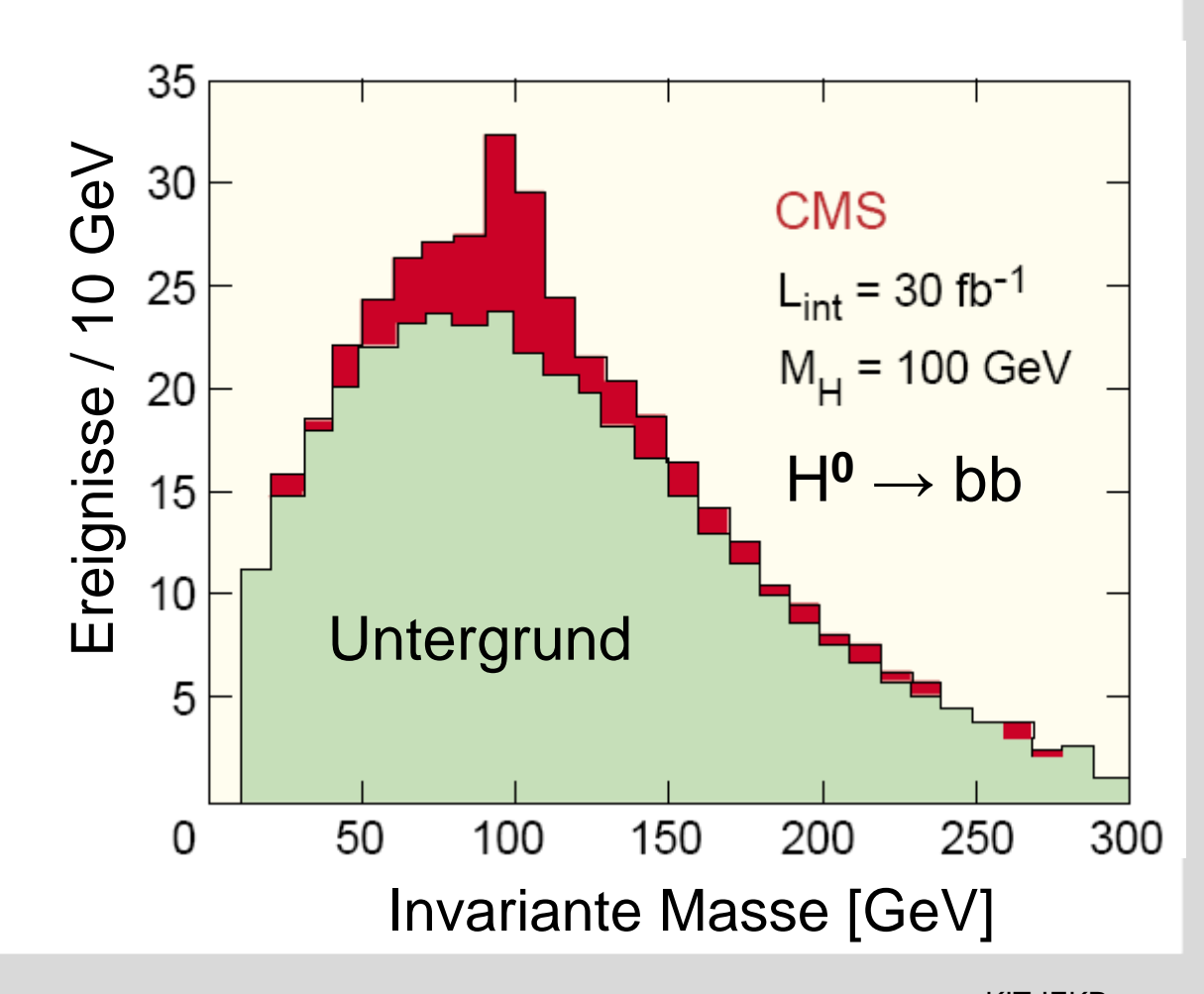


experimentelle Higgs-Massengrenzen:

- untere Massengrenze des Higgs m(H⁰) > 114.4 GeV (LEP e+e⁻) Collider
- derzeit favorisierter Massenbereich: m(H⁰) = 115 150 GeV
- Signatur: dominante Zerfallskanäle sind abhängig von der Higgsmasse

 $m(H^{0}) < 140 \text{ GeV: } H^{0} \rightarrow bb$ $m(H^0) > 160 \text{ GeV: } H^0 \rightarrow WW$

- 'goldener' Zerfallsmodus: $H^0 \rightarrow Z^0 Z^0 \rightarrow 4$ Leptonenkanal klarer Massenpeak bei m(H⁰)
- seltener Diphotonmodus (~10⁻²) $H^0 \rightarrow \gamma \gamma$ (Signal im ECAL) enger experiment. Massenpeak
- LHC kann Higgs-Boson mit Signifikanz > 5σ nachweisen KIT-Beiträge: IEKP-Grp. bei CMS

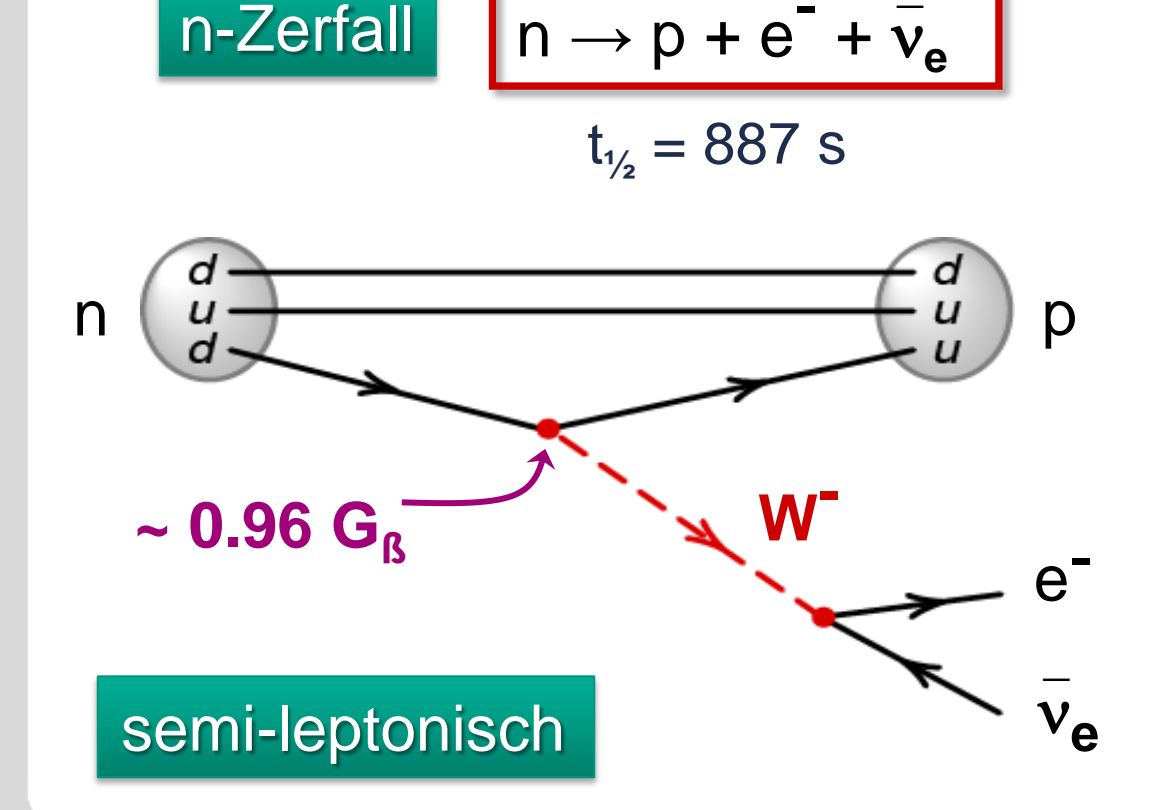


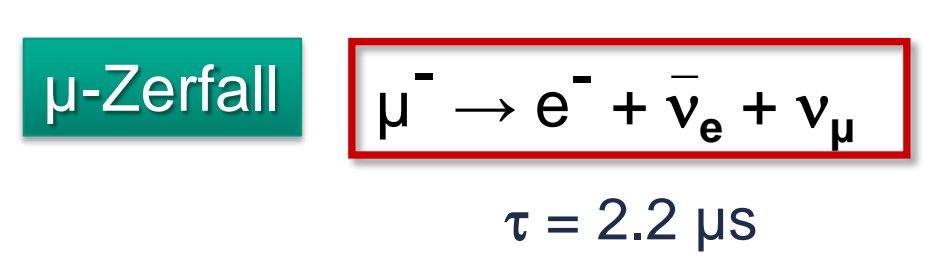
9.3 Quarkmischung

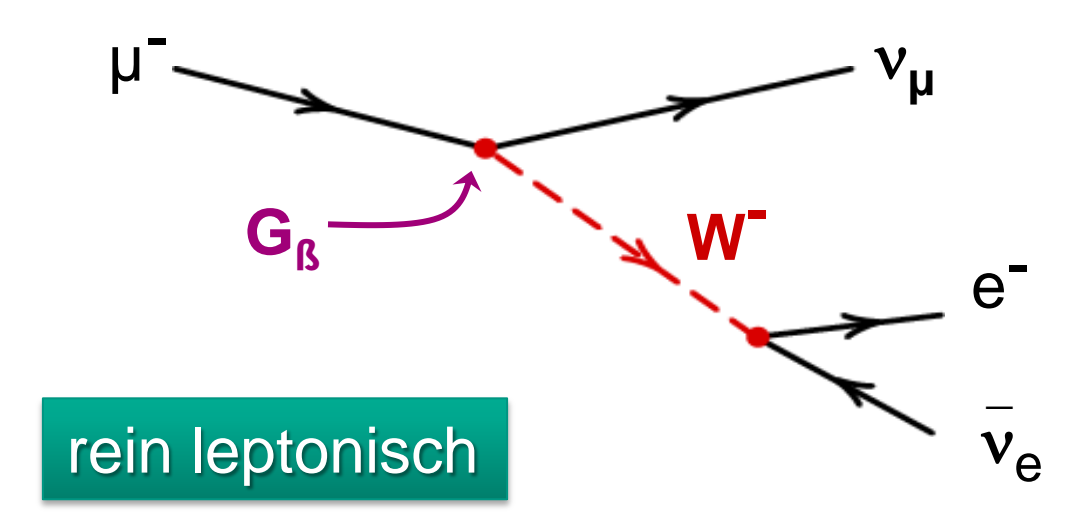


 bisher: geladene schwache Ströme koppeln an Quarks & Leptonen mit der universellen Kopplungskonstante g (G_F)

aber: unterschiedliche Stärke von g (G_F) im lepton./semilepton. ß-Zerfällen: Neutron ($\Delta S=0$)/Myon ~ 0.96 , Lambda ($\Delta S=1$)/Myon ~ 0.05 wohin geht die Stärke??







Quarkfamilien: CC Übergänge



- Effekte der Quarkmischung in der schwachen Wechselwirkung
 - N. Cabbibo: g ist "universell", neben den Übergängen innerhalb eines SU(2)-Dubletts auch Übergänge zwischen den Quark-Familien (Mischung)

- Beispiele: $d \rightarrow u$ und $s \rightarrow u$

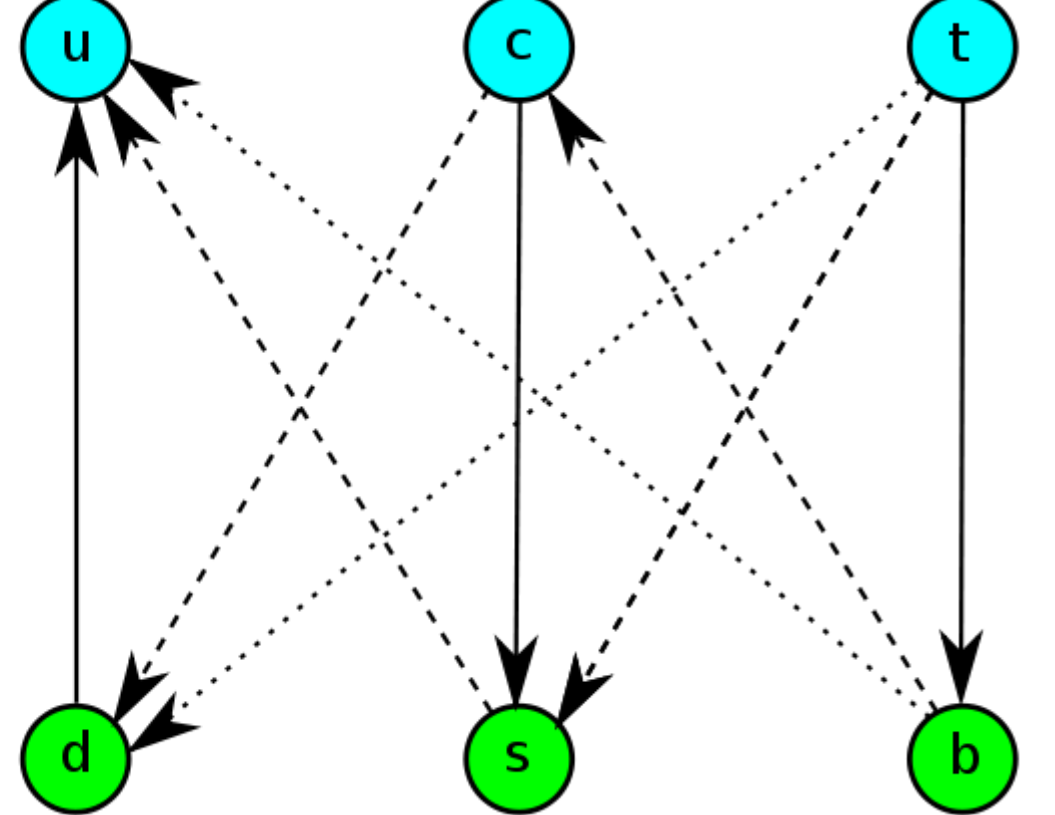




+2/3

Zerfallscharakteristik dominant - ➤ klein

> sehr klein



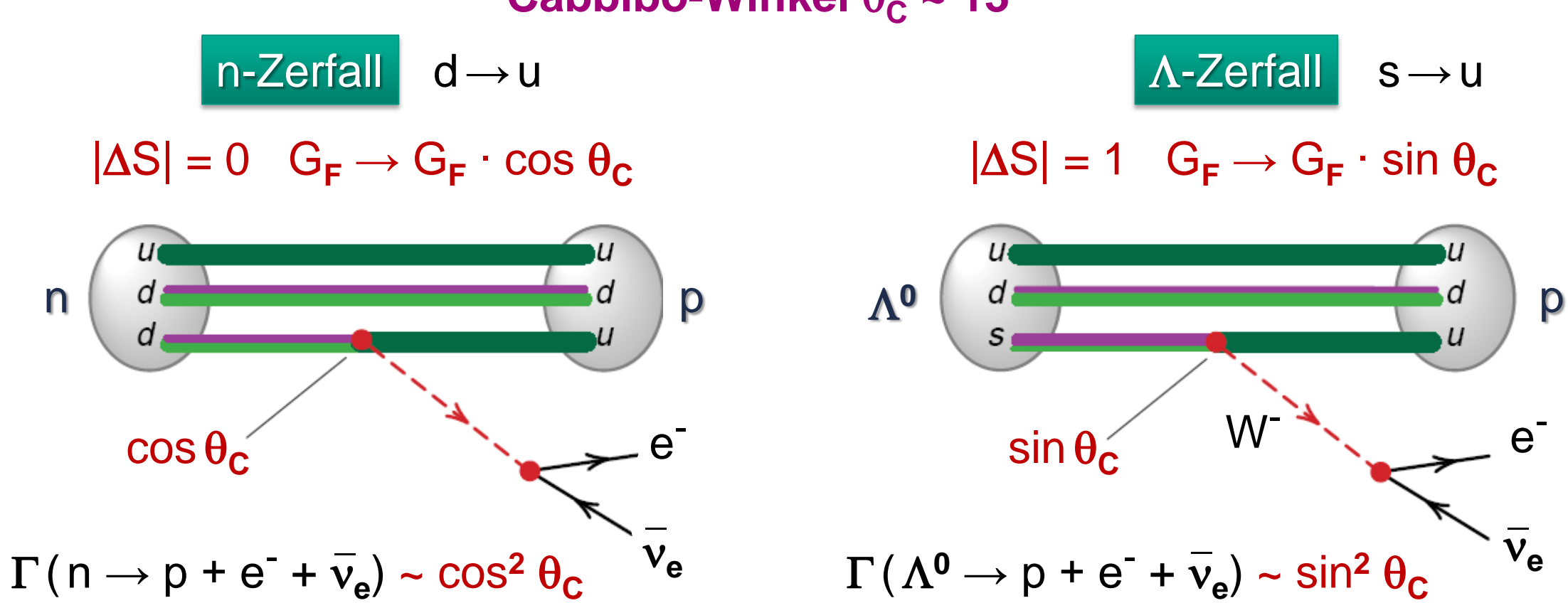
-1/3

Cabbibo-Winkel θ_{c}



Vergleich der ß-Zerfälle von Neutron und Lambda: die 'fehlende Stärke' beim Neutron-ß-Zerfall erklärt sich durch die Stärke des ß-Zerfalls des A





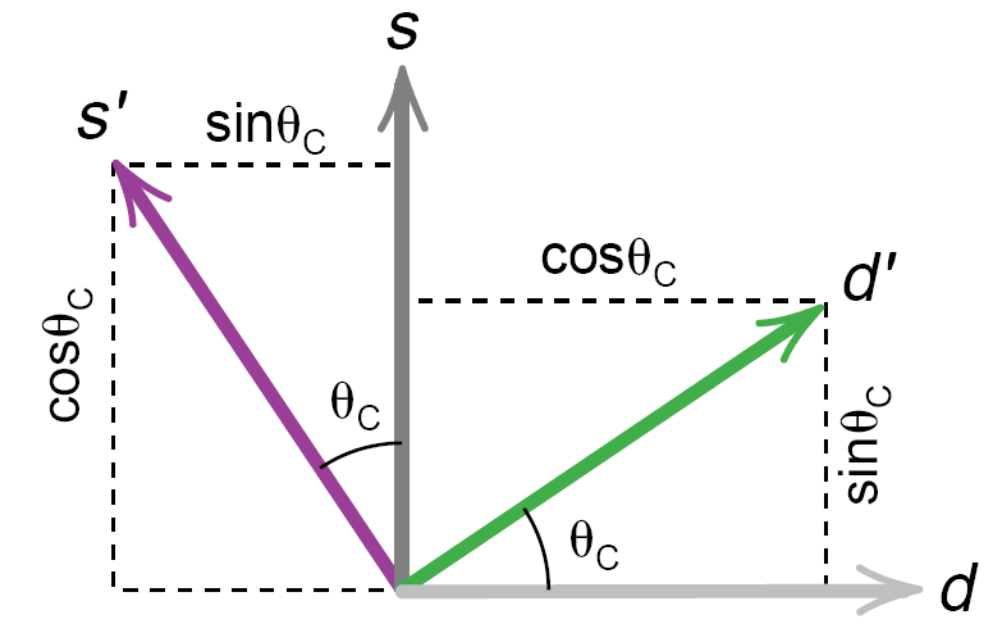
$$\Gamma(\text{n} \rightarrow \text{p} + \text{e}^{\text{-}} + \overline{\nu}_{\text{e}} \text{ & } \Lambda^{\text{0}} \rightarrow \text{p} + \text{e}^{\text{-}} + \overline{\nu}_{\text{e}} \text{)} \sim \cos^{2}\theta_{\text{C}} + \sin^{2}\theta_{\text{C}} = \Gamma(\mu^{\text{-}} \rightarrow \text{e}^{\text{-}} + \overline{\nu}_{\text{e}} + \nu_{\mu})$$

Quarkmischung – 2 Familien



durch die Übergänge zwischen 2 Familien ergibt sich: der Partner des u-Quarks beim Austausch eines W-Bosons ist das d', eine Linearkombination von |d> und |s>

$$|d'\rangle = \cos \theta_C \cdot |d\rangle + \sin \theta_C \cdot |s\rangle$$
$$|s'\rangle = \cos \theta_C \cdot |s\rangle - \sin \theta_C \cdot |d\rangle$$



- die Drehung von |d> und |s> ist Konvention, (anstatt |u> und |c>)
 - wichtig ist allein die Differenz der Drehwinkel

 $\cos \theta_{\rm C} \sim 0.98$

 $\sin \theta_{\rm c} \sim 0.22$

Quarkmischung – 2 Familien

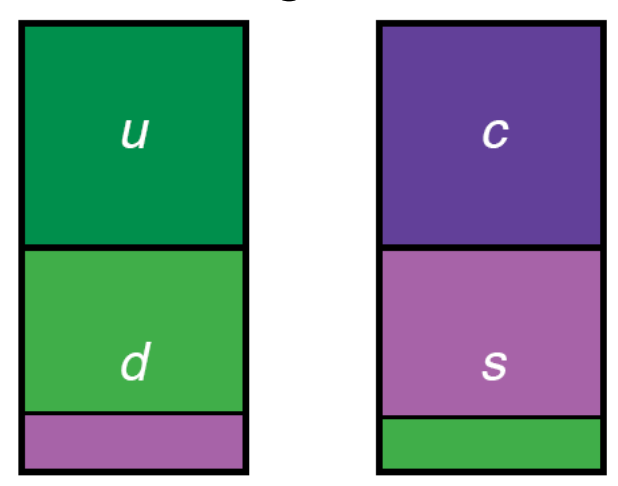


- W-Bosonen koppeln nicht an die Masseneigenzustände d, s, sondern an die "Cabibbo-gedrehten" Quark-Flavour Zustände d´, s´
- die "Cabibbo-gedrehten" Quark-Flavour Zustände d´, s´ besitzen keine definierten Massen (besser: Massenanteile $\cos \theta_{\rm c}$ d – $\sin \theta_{\rm c}$ s)

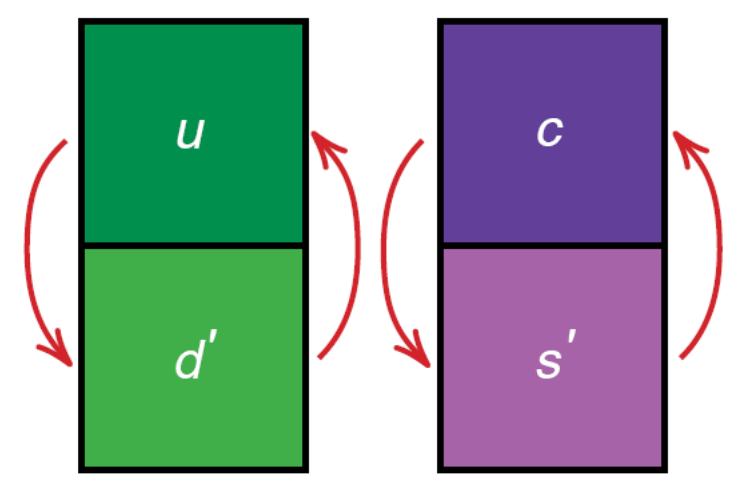
$$\begin{pmatrix} d \\ s \end{pmatrix} = \begin{pmatrix} \cos \theta_{c} & -\sin \theta_{c} \\ \sin \theta_{c} & \cos \theta_{c} \end{pmatrix} \quad \begin{pmatrix} d' \\ s' \end{pmatrix}$$

$$\begin{pmatrix} d \\ s \end{pmatrix} = \begin{pmatrix} \cos\theta_{\rm c} & -\sin\theta_{\rm c} \\ \sin\theta_{\rm c} & \cos\theta_{\rm c} \end{pmatrix} \quad \begin{pmatrix} d' \\ s' \end{pmatrix} = \begin{pmatrix} \cos\theta_{\rm c} & \sin\theta_{\rm c} \\ -\sin\theta_{\rm c} & \cos\theta_{\rm c} \end{pmatrix} \quad \begin{pmatrix} d \\ s \end{pmatrix}$$

Masseneigenzustände



Flavoureigenzustände



CKM-Matrix: Mischung von 3 Familien



■ 1973: M. Kobayashi & T. Maskawa - Erweiterung der 2×2 Matrix mit der Mischung von 2 Familien auf eine 3×3 Quark-Mischungs-Matrix:

Cabbibo-Kobayashi-Maskawa-Matrix (CKM – Matrix)

$$egin{pmatrix} \left| egin{array}{c} A'
ight
angle \\ \left| s'
ight
angle \\ \left| b'
ight
angle
ight)_{L} \end{pmatrix} = egin{pmatrix} V_{ud} & V_{us} & V_{ub} \\ V_{cd} & V_{cs} & V_{cb} \\ V_{td} & V_{ts} & V_{tb} \end{pmatrix} \cdot egin{pmatrix} \left| A
ight
angle \\ \left| b
ight
angle \\ \left| b
ight
angle \end{pmatrix}_{L} \ \ \, \end{array}$$







Cabbibo Kobayashi Maskawa

- CKM-Matrix ist eine unitäre 3×3 Matrix mit 4 unabhängigen Parametern:
 - 3 reelle Winkel
 - 1 imaginäre (CP)-Phase (d.h. einige Matrixelemente sind komplex)
 - Übergangswahrscheinlichkeit P für qq': P ~ | V_{qq'}|²
 - alle nichtdiagonalen Elemente sind klein
- CKM-Matrix enthält einen Phasenfaktor, der CP-Verletzung ermöglicht (CP Verletzung erfordert drei Quarkgenerationen!)

CKM-Matrix: Parametrisierung



■ CKM Matrix ist darstellbar durch 3 Euler-Winkel θ_{ij} (θ_{12} , θ_{13} , θ_{23}), empfohlene Parametrisierung (mit $c_{ij} = \cos \theta_{ij}$, $s_{ij} = \sin \theta_{ij}$):

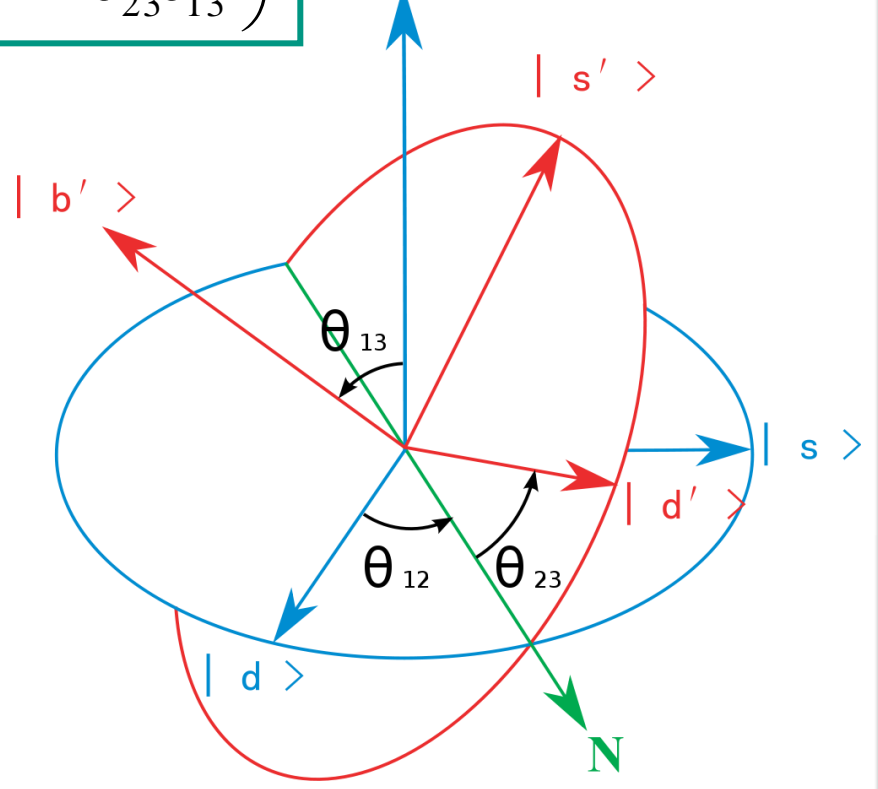
$$V_{CKM} = \begin{pmatrix} c_{12}c_{13} & s_{12}c_{13} & s_{13}e^{-i\delta} \\ -s_{12}c_{23} - c_{12}s_{23}s_{13}e^{-i\delta} & c_{12}c_{23} - s_{12}s_{23}s_{13}e^{-i\delta} & s_{23}c_{13} \\ s_{12}c_{23} - c_{12}s_{23}s_{13}e^{-i\delta} & -c_{12}s_{23} - s_{12}c_{23}s_{13}e^{-i\delta} & c_{23}c_{13} \end{pmatrix}$$

- CP-Phase unter Zeitumkehr e^{iδ} → e^{-iδ}: Verletzung von T bzw. von CP B⁰-B⁰ System: Phase δ ~ 60°
- Experimente zeigen:

Quarkmischungswinkel sind klein

$$\sin \theta_{12} = \sin \theta_{C} >> \sin \theta_{23} >> \sin \theta_{13}$$

$$\theta_{12} = 13.04^{\circ}, \ \theta_{23} = 2.38^{\circ}, \ \theta_{13} = 0.201^{\circ},$$



CKM-Matrix - Darstellungen

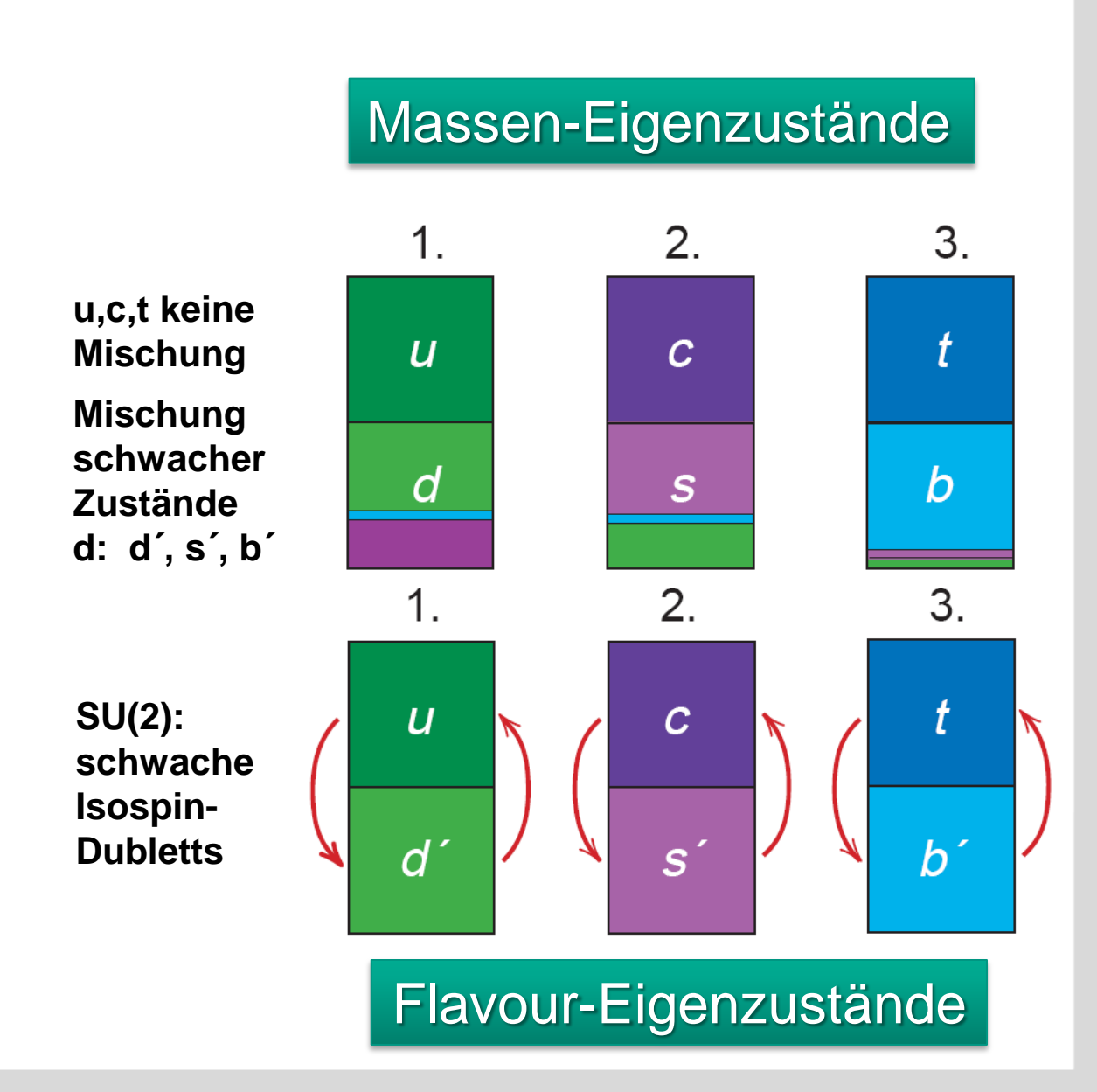


aktuelle experimentelle Werte der CKM Matrixelemente

$$\begin{pmatrix} V_{ud} & V_{us} & V_{ub} \\ V_{cd} & V_{cs} & V_{cb} \\ V_{td} & V_{ts} & V_{tb} \end{pmatrix} =$$

$$\begin{pmatrix} 0.97459 & 0.2257 & 0.00359 \\ 0.2256 & 0.97334 & 0.0415 \\ 0.00874 & 0.0407 & 0.99913 \end{pmatrix}$$

die theoretisch erwartete
 Unitarität der CKM Matrix wird
 experimentell überprüft
 (Suche nach einer 4. Generation)



GIM Mechanismus



■ 1970 Glashow, Illiopoulos & Maiani:

G. Drexlin - VL23

Einführung eines zweiten Quark-Dubletts (u, d´) (c, s´) zur Erklärung der Nichtexistenz von **Strangeness- (Flavour-) ändernden neutralen Strömen** (GIM-Mechanismus: Einführung des c-Quarks *vor* der Entdeckung des J/ψ)

Beispiel für einen verbotenen FCNC (Flavour Changing Neutral Current):

$$K^{+} \rightarrow \pi^{+} + \nu + \overline{\nu}$$

$$K^{+} \stackrel{\overline{S}}{\longrightarrow} \stackrel{\overline{C}}{\longrightarrow} \stackrel{\overline{C}}{\longrightarrow$$

mit den beiden schwachen Quarkströmen ud' und cs'

$$ud' = u \left(d \cdot \cos \theta_C + s \cdot \sin \theta_C \right) \qquad cs' = c \left(-d \cdot \sin \theta_C + s \cdot \cos \theta_C \right)$$

gibt es im neutralen Strom (uu + cc + d'd' + s's') keine $|\Delta S|$ = 1 Anteile!